

# بررسی علل خرابی ریشه‌ای در یاتاقان‌ها

## به‌کمک روش‌های پایش وضعیت

محمد ریاحی

عضو هیئت علمی دانشکده مهندسی مکانیک  
دانشگاه علم و صنعت ایران  
riahi@iust.ac.ir

نغمه جعفریان\*

دانشجوی کارشناسی ارشد  
دانشگاه علم و صنعت ایران  
n\_jafarian@mecheng.iust.ac.ir

تاریخ پذیرش: ۱۳۹۲/۱۱/۱۴

تاریخ دریافت: ۱۳۹۲/۱۱/۱

### چکیده

معمولًاً در بیشتر سیستم‌های مکانیکی جهت تعليق محورهای دوار از یاتاقان استفاده می‌شود. تاکنون روش‌های متنوعی برای پایش وضعیت این دسته از ادوات مکانیکی به منظور اطمینان از صحت عملکرد و پیش‌گیری از واردآمدن صدمات جبران‌ناپذیر به آنها به کار گرفته شده است. در این میان، آنالیز ارتعاشات و آکوستیک امیژن از جمله پرکاربردترین و دقیق‌ترین روش‌های پایش وضعیت محسوب می‌شوند. در این مقاله به بررسی این فناوری در یاتاقان‌های صنعتی پرداخته شده است. به طوری که با استفاده از تحلیل داده‌ها می‌توان اندازه عیب و موقعیت آن روی یاتاقان‌های پیش‌بینی کرد تا تصمیمات لازم جهت تعمیر یا تعویض یاتاقان اتخاذ گردد.



واژگان کلیدی: یاتاقان، پایش وضعیت، آنالیز ارتعاش، آکوستیک امیژن، سایش

### ۱. مقدمه

پایش وضعیت کنترل شوند. امروزه، استراتژی پایش وضعیت به طور گسترده‌ای در صنعت استفاده می‌شود. از جمله تکنیک‌های مورد استفاده در فن پایش وضعیت عبارت‌اند از آنالیز ارتعاشات، آکوستیک امیژن، اندازه‌گیری کرنش، ترموگرافی، آنالیز روغن، شرایط فیزیکی مواد و جز این‌ها.

در ادمه به توضیح و تشریح برخی از این تکنیک‌ها می‌پردازیم.

پایش وضعیت یاتاقان‌ها اهمیت خاصی در صنعت دارد. این فناوری می‌تواند به عنوان اندازه‌گیری پارامترهای متنوع مربوط به شرایط مکانیکی ماشین‌آلات همچون ارتعاشات، دمای یاتاقان، فشار روغن، خردک‌های روغن و عملکرد تعریف شود [۱]. هزینه‌های زمان از کار افتادگی اجزاء برای فرایندهای صنعتی می‌تواند بسیار مهم باشد، بنابراین جلوگیری از شکست تجهیزات و کمکردن توقف به‌سبب انجام سرویس و تعمیر، مزیت‌هایی مهم‌اند که می‌توانند با

## ۲. آنالیز ارتعاشات

آنالیز ارتعاشات یکی از دقیق‌ترین پارامترهای اندازه‌گیری شده در ماشین‌آلات دوار است. بسیاری از محققان به صورت نظری و آزمایشگاهی پیشرفت عیب در بلبرینگ‌ها و اثر آن بر ارتعاشات را مطالعه کرده‌اند. در این رهگذر، هوپریخ<sup>۱</sup> گسترش عیب خستگی در یاتاقان‌های غلتکی را بررسی کرد [۲]. هریس<sup>۲</sup> و کوتسلاس<sup>۳</sup> نیز پیشرفت شکست خستگی و ارتعاشات در طول این پیشرفت را مطالعه نمودند [۳].

## ۳. آکوستیک امیژن

آکوستیک امیژن پدیده‌ای است که در اثر ایجاد و انتشار یک موج الاستیک در محدوده فرماحت رخ می‌دهد. این امواج ناشی از آزادشدن ناگهانی انرژی الاستیک از منبع موجود در جسم می‌باشد. ترک‌ها، نشتی‌ها و سایر پدیده‌های فیزیکی می‌توانند به عنوان نقاط مناسب برای انتشار آکوستیک امیژن باشند [۴]. طی دو دهه گذشته، مطالعات متعددی در زمینه توسعه کاربرد فناوری آکوستیک امیژن برای پایش سلامتی یاتاقان‌ها انجام شده است. در پایش وضعیت یاتاقان‌ها، آکوستیک امیژن از ضربه‌های کوچک ناشی از اصطکاک و سایش بین اجزای دوار یاتاقان ناشی می‌شود. این پدیده با آنالیز ارتعاشات تفاوت دارد، به‌طوری‌که باند فرکانسی که برای آن استفاده می‌شود بین ۱۰۰ تا ۱۰۰۰ کیلوهرتز است. آکوستیک امیژن تشخیص زودهنگام‌تری نسبت به آنالیز ارتعاش برای عیوب حلقة خارجی ارائه می‌دهد [۵]. اگرچه این امر برای عیوب حلقة داخلی این‌گونه نیست. در ادامه کاربردهایی عملی از این دو روش بیان می‌شود.

## ۴. تشخیص تجربی عیب بلبرینگ‌ها با استفاده از آنالیز ارتعاشات

آنالیز سیگنال‌های ارتعاشی اجزای ماشین، یک روش تشخیص عیب متبادل در سیستم‌های روتور یاتاقان است.

در این میان، دو موقعیت بحرانی وجود دارد: نخست تشخیص عیب و دیگری تعیین شدت آن. بلبرینگ‌ها ارتعاشات مشخصی دارند، زمانی که عیبی در بلبرینگ اتفاق بیافتد، شاخص‌های ارتعاشی نیز تغییر می‌کنند. یک یاتاقان نمونه، یک طیف ارتعاشی که شامل فرکانس‌های متعدد همراه با هارمونی‌های متناظر می‌باشد را تولید خواهد کرد. اگر ساچمه دارای عیبی مانند حفره<sup>۴</sup> باشد، هر دوران منجر به یک ضربه خواهد شد که به محفظه یاتاقان منتقل می‌شود. فرکانس اصلی مربوط به این سری از ضربه‌ها، فرکانس چرخش ساچمه<sup>۵</sup> نامیده می‌شود. به‌طور مشابه فرکانس عبور ساچمه، حلقة داخلی<sup>۶</sup> و فرکانس عبور ساچمه، حلقة خارجی<sup>۷</sup> نیز تعریف می‌شود.

### ۴-۱. فرکانس‌های عیب در بلبرینگ‌ها

در این بخش فرکانس‌های انواع عیب در بلبرینگ‌ها معرفی می‌شوند.

(الف) فرکانس حرکت قفسه:

$$N_f = \frac{1}{2} N \left( 1 - \frac{d}{p} \cos \varphi \right) \text{ rpm}$$

(ب) فرکانس حرکت گردشی ساچمه:

$$N_b = \frac{1}{2} N \frac{p}{d} \left( 1 - \left( \frac{d}{p} \right)^2 \cos^2 \varphi \right) \text{ rpm}$$

(ج) فرکانس حلقة بیرونی:

$$N_o = \frac{1}{2} N n_z \left( 1 - \frac{d}{p} \cos \varphi \right) = n_z N_f \text{ rpm}$$

(د) فرکانس حلقة درونی:

$$N_i = N n_z - \frac{1}{2} N n_z \left( 1 - \frac{d}{p} \cos \varphi \right) = n_z (N - N_f)$$

به‌طوری‌که در این روابط  $N$  سرعت دورانی محور بر حسب دور بر دقيقه،  $d$  شعاع ساچمه،  $P$  قطر گام،  $n_z$  تعداد ساچمه‌ها و نهایتاً  $\varphi$  زاویه تماس می‌باشد.

در این مطالعه، به منظور بررسی شکست و مشخصه‌های ارتعاش، دستگاهی مانند شکل ۱ راهاندازی شده است [۶]. این سیستم شامل یک موتور AC، اسپیندل - که دو طرف



دستگاه قرار گرفته و تا رسیدن به شرایط خرابی تست می‌شوند. نمونه برداری در فاصله زمانی ۱۵ دقیقه و هر بار به مدت ۲ ثانیه به طول می‌انجامد و آزمایش بعد از ۱۴۲۰ ساعت کارکرد متوقف می‌شود. اندازه گیری‌های آماری مانند روش ریشه میانگین مربعات<sup>۹</sup>، فاکتور کرست<sup>۱۰</sup> و مقدار تجمع آماری<sup>۱۱</sup> برای پیش‌بینی سلامت یاتاقان‌ها اندازه گیری شد، که اطلاعات کافی برای پیش‌بینی موقعیت و شدت عیوب مرکز را به دست نمی‌دهد. برای این منظور نمودار طیف ارتعاش سیگنال‌ها در طی آزمایش رسم شد.

جدول ۱. فرکانس‌های مشخصه بلبرینگ

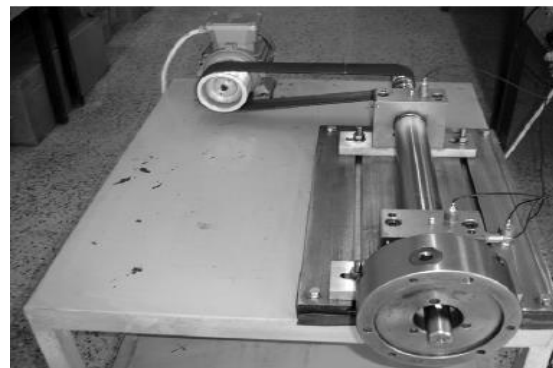
هر تر	فرکانس مشخصه بلبرینگ
۰/۳۹۸	محفظه
۳/۵۸	رینگ خارجی
۵/۴۱	رینگ داخلی
۴/۷۱	اجزاء غلتان

**۴-۲. اندازه گیری‌های آماری**  
شکل ۳ نمودار ریشه میانگین مربعات سیگنال‌ها را نشان می‌دهد. ریشه میانگین مربعات یک اصطلاح مهندسی است که به عنوان شاخص تصحیح سیگنال متوسط زمان در مقیاس خطی تعریف و به صورت ولت گزارش می‌شود. تا به امروز این پارامتر به طور وسیعی برای آنالیز سیگنال استفاده می‌شده و از جمله روش‌های پردازش سیگنال حوزه زمان است. برای وقایع منفرد ( $X$ ) و تعداد نمونه ( $N$ ),  $RMS$  می‌تواند به صورت زیر محاسبه شود:

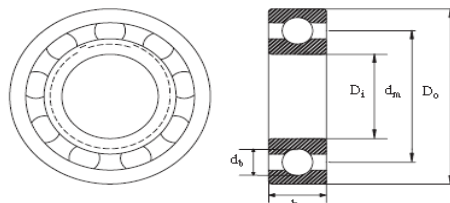
$$RMS = \sqrt{\frac{x_1^2 + x_2^2 + \dots + x_N^2}{N}}$$

پارامتر کرست از جمله مقیاس‌های عددی است که برای نمایش عیوب در بلبرینگ‌ها استفاده می‌شود. وقتی مقدار پارامتر کرست بالای ۳ است، عیوب می‌تواند در بلبرینگ وجود داشته باشد. شکل ۴ نمودار پارامتر کرست تست را نشان می‌دهد که در ساعت ۱۳۵۰ یک افزایش تند نشان می‌دهد و تا پایان تست کاهش نمی‌یابد.

آن توسط یک جفت بلبرینگ شیار عمیق استاندارد ۶۲۰۵ که مشخصات فرکانسی و ابعاد آن به ترتیب در شکل ۲ و جدول ۱ داده شده - مقید شده است. یک فلاپویل نیز در سمت آزاد اسپیندل بهمنظور بارگذاری و کاهش نوسانات سرعت نصب شده است.



شکل ۱. نمایی از تجهیزات دستگاه [۶]

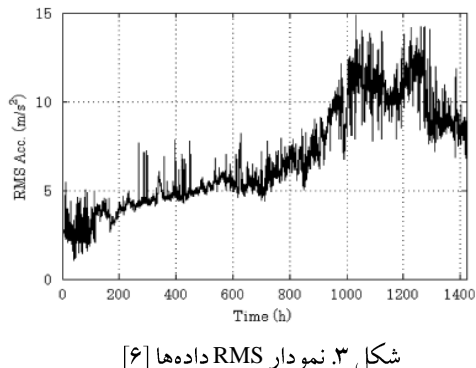


۲۵ میلی‌متر	$D_i$
۵۲ میلی‌متر	$D_o$
۳۹ میلی‌متر	$d_m$
۷/۹۴ میلی‌متر	قطر ساقمه ( $d_b$ )
۱۵ میلی‌متر	عرض (b)
۰/۱۳ کیلوگرم	جرم

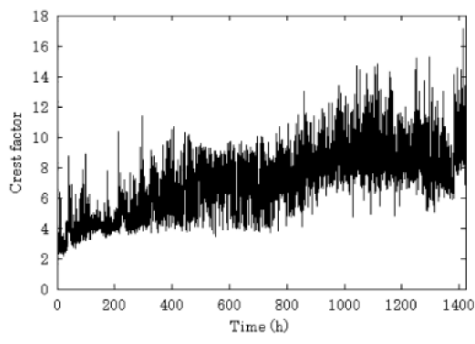
شکل ۲. ابعاد بلبرینگ [۶]

سرعت زاویه‌ای اسپیندل حدود ۳۲۰۰ دور بر دقیقه تنظیم شده است و سیگنال‌های ارتعاش توسط سه شتاب‌سنج مدل ۴۳۸۴ شرکت بی. اند کی.<sup>۸</sup> نوع شارژی به دست می‌آیند. شتاب سنجها در هر دو جهت افقی و عمودی در سمت راست تکیه‌گاه یاتاقانی و در سمت چپ آن قرار دارند. سرعت اسپیندل نیز توسط یک پراب تاکومتر فتوالکتریک بی. اند کی. اندازه گیری می‌شود. برای تعیین پیشرفت عیوب مرکز شده، یک سری بلبرینگ جدید در

ساعت ۱۳۰ تست را نشان می دهد. برجسته‌ترین نقاط اوج در طیف در سرعت محور و در هارمونی‌های ۵۳ و ۱۰۶ هرتز) هستند که مربوط به نابالانسی محور و غیرهم محور بودن یاتاقان‌ها و تسمه راننده است. همچنین نقطه اوج در فرکانس عبور ساقمه (۱۹۹۰ هرتز) یک بلبرینگ شیار عمیق ۶۲۰۵ در طیف نشان داده شده است. همه مقیاس‌های اسکالار تغییراتی را در شرایط بلبرینگ در حدود ۹۸۱ ساعت نشان می‌دهند که تجمع آماری بیشترین تغییر را نشان می‌دهد. شکل ۷ طیف را در حدود ساعت ۹۸۱ نشان می‌دهد. اگرچه نقاط اوج برجسته در سرعت محور و هارمونی‌های آن هستند، فرکانس‌های عیب داخلی، فرکانس‌های عیب ساقمه و فرکانس‌های عبوری ساقمه نیز وجود دارند. در یک بازه فرکانسی پایین بین ۲۰۰ تا ۴۰۰ هرتز اولین هارمونی (*IDF*) (فرکانس عیب داخلی) و (*BDF*) (فرکانس عیب ساقمه) حضور دارند. همچنین در فرکانس بالا، نزدیک یکی از فرکانس‌های طبیعی سیستم، *IDF* و هارمونی‌هایش به‌طور واضح قابل مشاهده‌اند.



شکل ۳. نمودار RMS داده‌ها [۶]



شکل ۴. نمودار پارامتر کرست داده‌ها [۶]

پارامتر کرست (*CF*) به عنوان نسبت مقدار پیک بر مقدار ریشه میانگین مربعات سیگنال تعریف می‌شود و علامتی از یک نیروی آنی در سیگنال می‌دهد رابطه زیر برای محاسبه *CF* به کار می‌رود [۷]:

$$CF = \frac{\text{Peak Value}}{\text{RMS}}$$

شکل ۵ نمودار تجمع آماری ارتعاشات را در طول آزمایش نشان می‌دهد. مقدار تجمع آماری یک بلبرینگ تازه‌نصب شده باید حدود ۳ باشد. اگر عیب متمرکز در بلبرینگ پیشرفت کند، مقدار ضربه سیگنال ارتعاشی افزایش می‌یابد. بنابراین، تعداد تجمع آماری که معیاری از نقطه اوج یک شکل موجی است نیز افزایش می‌یابد. تجمع آماری یک نقطه اوج ماکریم برجسته حدود ۹۸۰ ساعت دارد که در مقیاس‌های اسکالار دیگر وجود ندارد. تجمع آماری یک ناهنجاری (تغییر ناگهانی) واضح در سیگنال‌های ارتعاشی بعد از ۱۳۵۰ ساعت همانند بقیه مقیاس‌های اسکالار می‌دهد. این پارامتر، (*KU*) مقیاسی از نقاط اوج یک سیگنال است و براساس اینکه یک سیگنال حاوی رویدادهای گذراي ضربه‌ای، در طول شروع تخریب است، مقادیر *KU* برای یک سیگنال گرفته شده می‌تواند توسط رابطه زیر تخمین زده شود [۷]. برای واقعیت تنها ( $X_i$ ) و تعداد نمونه ( $N$ )، میانه ( $\bar{x}$ ) و انحراف استاندارد  $\sigma$  می‌توانند بهتر ترتیب زیر محاسبه شوند:

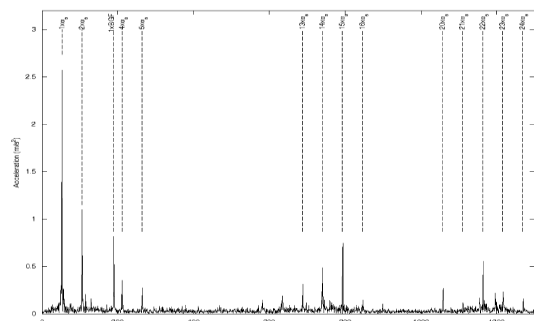
$$\mu = \frac{\sum_{i=1}^N X_i}{N}$$

$$\sigma = \sqrt{\frac{\sum_{i=1}^N (x_i - \mu)^2}{N}}$$

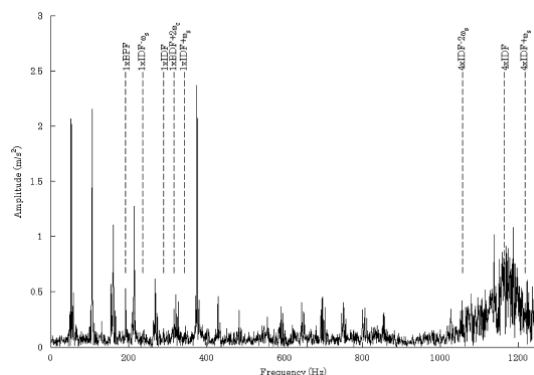
$$KU = \frac{1}{N} \sum_{i=1}^n \left( \frac{x_i - \mu}{\sigma} \right)^4$$

به منظور تعیین مشخصات سیگنال‌های ارتعاشی و نمایش موقعیت و سایز عیب مربوطه در بلبرینگ، طیف ارتعاش وقتی که مقیاس‌های آماری یک ناهنجاری در سیگنال نشان دهند، محاسبه می‌شود. در شکل ۶ طیف ارتعاش در

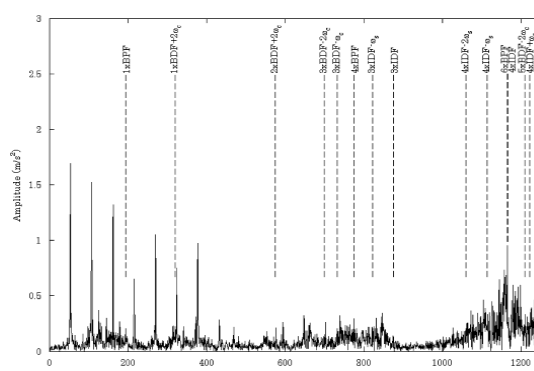
یاتاقان ساچمه‌ای محوری و یاتاقان غلتکی محوری در محدوده بار ۵۰ کیلو نیوتن انتخاب شد. یک رینگ از یاتاقان ساچمه‌ای محوری (SKF 51210) با یک رینگ SKF 8120 مسطح گرفته شده از یاتاقان غلتکی محوری (TN) با همان سایز جایگزین شد (شکل ۹).



شکل ۶. نمودار طیف در ساعت ۱۳۰ [۶]

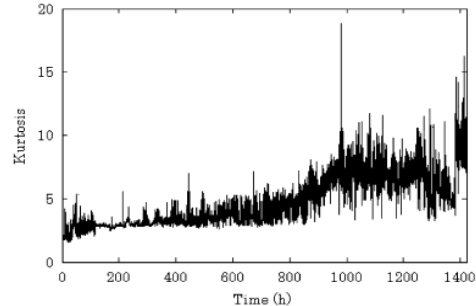


شکل ۷. نمودار طیف در ساعت ۹۸۱ [۶]



شکل ۸ نمودار طیف در ساعت ۱۴۱۲ [۶]

دستگاه تست طراحی شده خاص، همان‌طور که در شکل ۱۰ نشان داده شده است، برای تحقیق به کار گرفته شده است.



شکل ۵. نمودار تجمع آماری [۶]

شکل ۸ طیف ارتعاش در ۱۴۱۲ ساعت، جایی که پارامتر کرست و تجمع آماری بالاترین نقطه اوج بعد از ۱۳۸۰ ساعت، را دارند نشان می‌دهد. فرکانس چرخش محور و هارمونی‌هاش هنوز در طیف حضور دارند.

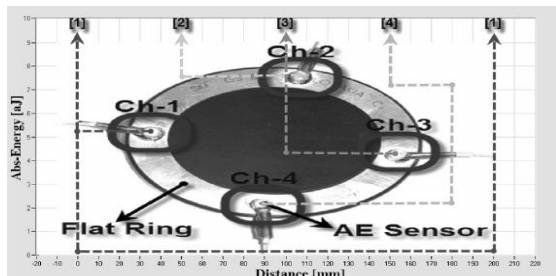
پیشرفت عیب در بلبرینگ به این صورت خلاصه می‌شود: سیستم از ۱۳۰ تا ۸۰۰ ساعت، با یک گرایش کم افزایش می‌یابد و سپس یک افزایش تا ۹۸۰ ساعت نشان می‌دهد. این رفتار به پیشرفت عیب داخلی تدریجی نسبت داده می‌شود. طیف در ۹۸۱ ساعت، مؤلفه‌های فرکانسی عیب داخلی را تا جایی که پیشرفت عیب ساچمه ممکن است نشان می‌دهد. بین ساعت‌های ۱۳۸۰ و ۹۸۱ پیشرفت عیب ساچمه و رینگ داخلی ادامه دارد. طیف در ساعت ۱۴۱۲ یک عیب حلقه خارجی علاوه بر عیب ساچمه و رینگ داخلی نشان می‌دهد. با باز کردن اجزای یاتاقان مشاهده شده است که در سطح حلقه خارجی و داخلی، حفره ایجاد شده است. همچنین روی سطح حلقه داخلی و ساچمه سایش ایجاد شده است.

## ۵. اندازه‌گیری تنزل خواص مکانیکی ذاتی در یاتاقان‌های سرعت‌پایین با استفاده از آکوستیک امیژن

در این مقاله از فناوری آکوستیک امیژن برای بررسی خرابی اولیه یاتاقان‌ها استفاده شده است. برای این منظور دستگاه آزمایشی طراحی شد که پیشرفت سایش و ترک را در همان مراحل ابتدایی کار سرعت بخشد [۴]. ترکیبی از



به صورت خطی در محور افقی بر حسب میلی‌متر تعريف شده است. این سیستم آکوستیکی به طور مداوم برای به دست آوردن انرژی مطلق (ژول) در طول یک ثابت زمانی ۱۰ میلی‌ثانیه در نرخ نمونه‌برداری ۱۰۰ مگاهرتز نصب شده است. انرژی مطلق از تقسیم انتگرال مربعات ولتاژ سیگنال بر مقاومت مرتعج استخراج می‌شود.



شکل ۱۱. تجهیزات موقعیت منشأ برای تشخیص خطی [۴]

تلاش‌های متعددی برای تشخیص اندازه عیب در یاتاقان‌ها با استفاده از فناوری AE صورت گرفته است. اکثر کارهای منتشرشده روی تعیین اندازه عیوب ساختگی انجام شده است. برای این تحقیق خاص، روش آکوستیک امیزن برای تعیین وجود و سایز عیب واقعی روی یاتاقان‌ها به کار گرفته شد. این روش با تعیین زمان انفجارهای AE که مرتبط با عیب یاتاقان است به انجام رسید. با دانستن مدت انفجارهای AE و سرعت زاویه‌ای ( $S$ )، اندازه عیب ( $R$ ) روی یاتاقان می‌تواند با استفاده از معادلات زیر محاسبه شود [۸]:

$$S = 2\pi \times \frac{Q}{2} \times w$$

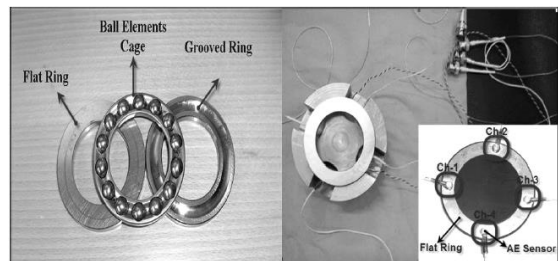
$$L = S \times \xi$$

با دانستن سرعت دورانی، قطر یاتاقان و مدت زمان عبور ساقمه‌ها بر روی ناحیه بارگذاری، اندازه عیب بزرگ  $13/10$  میلی‌متر به دست آمده است.

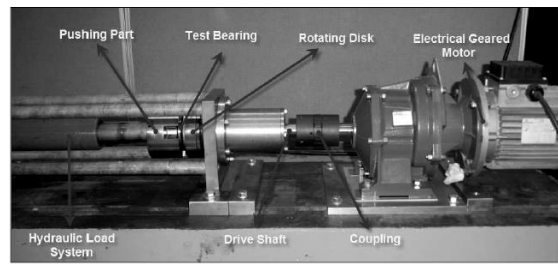
## ۶. نتیجه‌گیری

یاتاقان‌ها از جمله قطعات اصلی انواع ماشین‌ها هستند و پایش وضعیت صحیح و به موقع آنها سبب افزایش

تحت شرایط عادی بارگذاری، سرعت دورانی و هم‌محوری خوب، آسیب سطح با ترک‌های کوچک شروع می‌شود که بین سطح شیار مسطح و ساقمه‌ها قرار دارد که به تدریج تا سطح پیشرفت می‌کند و سیگنال‌های AE قبل مشاهده‌ای را تولید می‌کند. چهار حسگر AE همراه با دو ترموموپل در قسمت پشت رینگ مسطح نصب شده‌اند.



شکل ۹. آرایش رینگ‌های یاتاقان‌ها [۴]



شکل ۱۰. چیدمان دستگاه تست [۴]

توانایی AE برای تعیین موقعیت‌های نشر منشأ سیگنال‌ها در زمان واقعی از مواد تحت بارگذاری یکی از فواید مهم AE نسبت به دیگر فناوری‌های تست‌های غیرمخرب است. در عمل، سیگنال‌های AE که در طول وسیله حرکت می‌کنند، ضعیف می‌شوند و با یک تأخیر به حسگرها می‌رسند. این تأخیر می‌تواند به علت فاصله بین منشأ نشر (عيوب) و حسگر AE باشد و با دانستن سرعت سیگنال، موقعیت منشأ نشر AE می‌تواند تعیین شود. در یک بازه ۵۲ دسی‌بل و با دانستن فاصله بین حسگرهای AE سرعت امواج AE تحت چنین شرایطی به طور تجربی  $4000$  متر بر ثانیه اندازه‌گیری شده است. شکل ۱۱ چیدمان موقعیت منشأها که حلقة یاتاقان برای موقعیت‌یابی خطی باز شده است را نشان می‌دهد که محیط این رینگ مسطح

قابلیتی که روش‌های دیگر پایش وضعیت چنین امکانی را فراهم نمی‌کنند. این روش تعمیرات و نگهداری در حوزه علمی پیشرفت زیادی داشته و نیاز به کار بیشتری در عرصه صنعت دارد.

بهرهوری ماشین‌ها، کاهش هزینه‌ها و زمان تعمیر و نگهداری می‌شود. در این مقاله دو روش بیروز و دقیق پایش وضعیت، شامل آنالیز ارتعاشات و آکوستیک امیژن بررسی شد. با استفاده از این روش‌ها می‌توان پیش‌بینی زودهنگامی داشت و مکان و شدت آسیب را تعیین کرد؛

## ۷. مأخذ

- [1] Elforjani, M. "Condition Monitoring of Slow Speed Rotating Using Acoustic Emission Technology." PhD diss., Cranfield University, 2010.
- [2] Hoeprich, M.R. "Rolling Element Bearing Fatigue Damage Propagation." *Trans ASME J Tribol* 114 (1992): 328-33.
- [3] Kotzalas, M.N. T.A. Harris. "Fatigue Failure Progression in Ball Bearing." *J Tribol* 123 (2001): 238-42.
- [4] Elforjani, M. D. Mba. "Natural Mechanical Degradation of Measurements in Slow Speed Bearings." *Engineering Failure Analysis* 16 (2009): 521-32.
- [5] Kilundu, B. X. Chiementin, J. Duez, D. Mba. "Cyclostationarity of Acoustic Emission for Monitoring Bearing Defects." *Mechanical Systems & Signal Processing* 25 (2011): 2061-72.
- [6] Tuncay, Karacy, Nizami, Akturk. "Experimental Diagnosis of Ball Bearing Using Statistical and Spectral Methods." *Tribology International* 42 (2008): 836-43.
- [7] Lihui, W., X.G. Robert, D.T. Pham. *Condition Monitoring and Control for Intelligent Manufacturing*, Springer, 2006.
- [8] AL-Ghand, A.M, D. Mba. "A Comparative Experimental Study on the Use of Acoustic Emission and Vibration Analysis for Bearing Defect Identification and Estimation of Defect Size." *Mechanical Systems and Signal Processing* 20 (2006): 1537-71.



## پی‌نوشت

- 
- 1. Hoeprich
  - 2. Haris
  - 3. Kotzalas
  - 4. pit
  - 5. Ball Spin Frequency: BSF
  - 6. Ball Pass Frequency, Inner Race: BPFI
  - 7. Ball Pass Frequency, Outer Race: BPFO
  - 8. B&K
  - 9. Root Mean Square
  - 10. Crest Factor
  - 11. kurtosis